

## 4. Brezvrvična zveza

Brezvrvično zvezo skušamo izdelati tako, da sta oba oddajnik  $d_{TX} \ll r$  in sprejemnik  $d_{TX} \ll r$  dosti manjša od razdalje, ki jo skušamo premostiti. V nasprotnem primeru bi bila kakršnakoli vrstica zagotovo cenejša rešitev. V brezvrvični zvezi lahko uporabimo elektromagnetne pojave. Največji domet in največjo zmogljivost brezvrvične zveze omogoča uporaba elektromagnetnega sevanja.

Elektromagnetno sevanje prevladuje na velikih razdaljah  $r \gg 1/k = 2\pi/\lambda$  od oddajne antene. Sevanje kakršnekoli antene v koordinatnem izhodišču krogelnega koordinatnega sistema  $(r, \Theta, \Phi)$  se lahko poenostavi v:

$$\vec{E}(\vec{r}) = \vec{1}_E \alpha I \frac{e^{-jkr}}{r} F(\Theta, \Phi) \qquad \vec{H}(\vec{r}) = \vec{1}_H \frac{\alpha I}{Z_0} \frac{e^{-jkr}}{r} F(\Theta, \Phi)$$

Oba električno in magnetno polje vsebujeta isto sorazmernostno konstanto  $\alpha$ , jakost toka  $I$  v anteni in zakasnitev  $e^{-jkr}$  končne hitrosti svetlobe. Oba električno in magnetno polje upadata obratno-sorazmerno razdalji  $1/r$  in sta lahko odvisna od smeri  $F(\Theta, \Phi)$ . Sevano električno in magnetno polje sta med sabo pravokotna vektorja  $\vec{1}_E \perp \vec{1}_H$ , sofazna in v točnem razmerju  $|\vec{E}(\vec{r})|/|\vec{H}(\vec{r})| = Z_0 = \sqrt{\mu_0/\epsilon_0}$  valovne impedance v praznem prostoru.

Poyntingov vektor:  $\vec{S}(\vec{r}) = \vec{1}_r \frac{|\alpha I|^2}{2Z_0 r^2} |F(\Theta, \Phi)|^2$  je popolnoma realen,

je pravokoten na oba  $\vec{1}_r \perp \vec{1}_E$  električno in  $\vec{1}_r \perp \vec{1}_H$  magnetno polje, kaže proč od oddajnika  $\vec{1}_r$  v smeri potovanja valovanja in upada s kvadratom razdalje  $1/r^2$ . Sevana moč  $P = \oiint \vec{S} \cdot \vec{1}_r dA$  se v praznem prostoru nikjer ne izgublja. Vrednost integrala po katerikoli sklenjeni ploskvi, ki zajema oddajnik, je vedno konstantna.

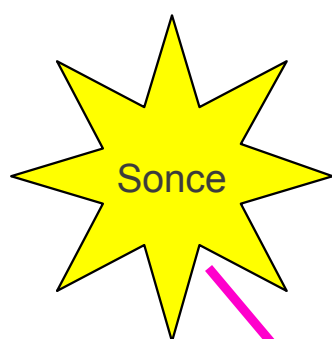
Za neusmerjeno anteno  $F(\Theta, \Phi) = konst.$  preprosto izračunamo vektor gostote pretoka moči  $\vec{S}(\vec{r}) = \vec{1}_r \eta P_{TX} / (4\pi r^2)$  iz moči oddajnika, ki se porazdeli po površini krogle z anteno v središču ob upoštevanju sevalnega izkoristka  $\eta$  neidealne antene (žarnice):



Ob lepem jasnem dnevu dosega svetloba Sonca na površini Zemlje gostoto pretoka moči  $|\vec{S}| \approx 1 \text{ kW/m}^2$ . Slednja ustreza efektivni električni poljski jakosti  $|\vec{E}_{\text{eff}}| \approx 614 \text{ V}_{\text{eff}}/\text{m}$ . Toplotni učinek svetlobe zaznamo še pri desetkrat nižji gostoti pretoka moči  $|\vec{S}| \approx 100 \text{ W/m}^2$ . Stokrat nižja gostota moči  $|\vec{S}| \approx 100 \text{ W/m}^2$  oziroma desetkrat nižje električno polje

$|\vec{E}| = 61 \text{ V}_{\text{eff}}/\text{m}$  od naravnega sevanja Sonca se smatra povsem varna in neškodljiva meja za neionizirajoče sevanje.

Fotoni neionizirajočega sevanja imajo dovolj majhno energijo  $W = h f$ , kjer je  $h = 6.626 \cdot 10^{-34} \text{ Js}$  Planckova konstanta, da je sproščena toplota edini učinek elektromagnetnega sevanja. Praktično to pomeni, da so vidna svetloba in vsa elektromagnetna sevanja z valovno dolžino večjo od približno  $\lambda > 400 \text{ nm}$  oziroma s frekvenco nižjo od približno  $f < 750 \text{ THz}$  neionizirajoča sevanja. Zakonodajalec je predpisal mejo neionizirajočih sevanj z električno poljsko jakostjo  $|\vec{E}_{\text{eff}}| \leq 6 \text{ V}_{\text{eff}}/\text{m}$ , kar je desetkrat nižja poljska jakost od varne meje oziroma deset-tisočkrat nižja gostota pretoka moči  $|\vec{S}| \approx 0.1 \text{ W}/\text{m}^2$  od sončne svetlobe:



Prazen prostor  
 $\mu_0 \quad \epsilon_0$   
brez izgub!

Učinek sevanja	Gostota pretoka moči $ \vec{S} $		Jakost polja $ \vec{E}_{\text{eff}} $
Sončna svetloba	1 kW/m <sup>2</sup>	100 mW/cm <sup>2</sup>	614 V <sub>eff</sub> /m
Zaznaven učinek	100 W/m <sup>2</sup>	10 mW/cm <sup>2</sup>	194 V <sub>eff</sub> /m
Varna meja	10 W/m <sup>2</sup>	1 mW/cm <sup>2</sup>	61 V <sub>eff</sub> /m
Zakonska omejitev	0.1 W/m <sup>2</sup>	10 μW/cm <sup>2</sup>	6 V <sub>eff</sub> /m

$$|\vec{E}| = \sqrt{2 Z_0} |\vec{S}|$$

$$|\vec{E}_{\text{eff}}| = \sqrt{Z_0} |\vec{S}|$$

$$|\vec{S}| \approx 1 \text{ kW}/\text{m}^2$$

(na površini Zemlje)

$$P_{RX} = \vec{S} \cdot \vec{1}_n A_{\text{maček}} (1 - |\Gamma|^2)$$



$$A_{\text{maček}} \approx 0.05 \text{ m}^2$$

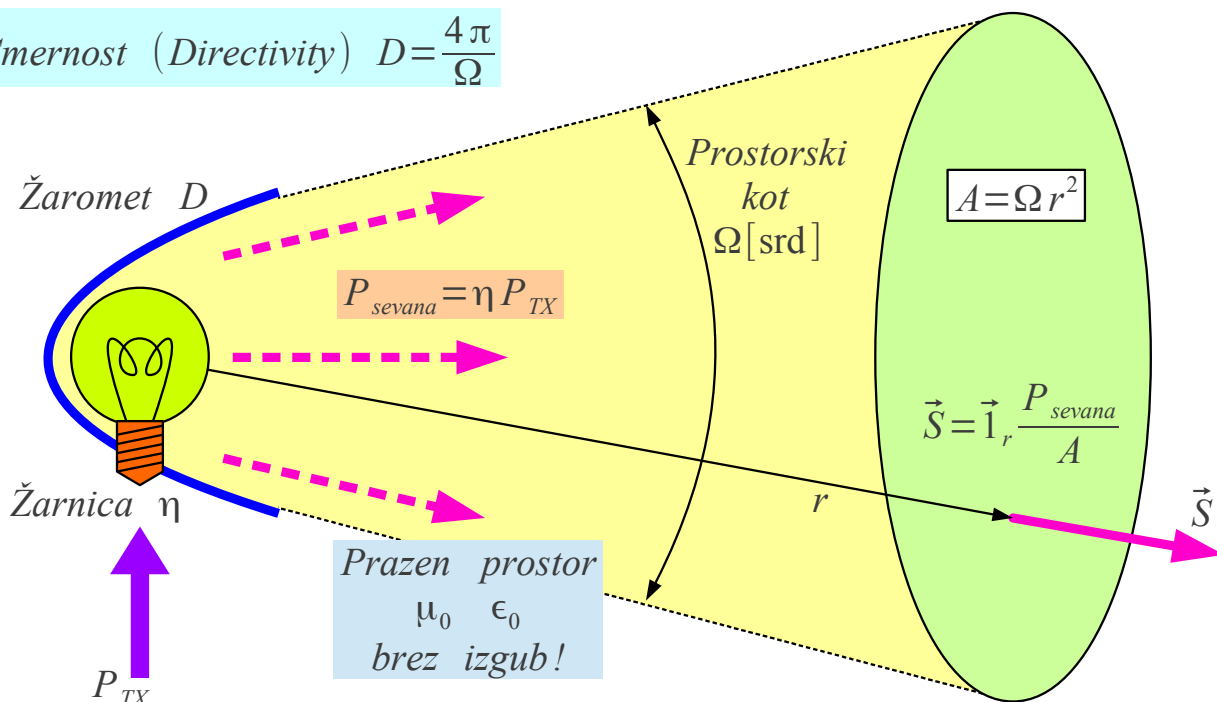
$$P_{RX} \approx 50 \text{ W}$$

Toplotni učinki sevanja

Domači maček nima preglavic s človeškimi predpisi. Nevarni, ionizirajoči, kratkovalovni del sevanja Sonca večinoma zaustavi že ozračje Zemlje. Črni maček skoraj ne odbija  $\Gamma \approx 0$  svetlobe Sonca, pač pa črna dlaka vso prispelo moč elektromagnetnega valovanja pretvori v toploto. Prispela moč je sorazmerna projekciji površine mačka na smer vpadne svetlobe. Maček torej dobro razume brezžični prenos električne energije, ko se na Soncu greje!

Sonce je neusmerjen naravni vir elektromagnetnega sevanja zelo velike moči. Moč umetnih virov, radijskih oddajnikov, je zelo omejena. Domet brezvrvične zveze skušamo povečati tako, da antena ne seva v vse smeri, pač pa sevanje usmerimo v stožec proti sprejemniku. Na primer, žaromet usmeri sevanje žarnice v prostorski kot  $\Omega < 4\pi$ , ki je manjši od polnega prostorskega kota:

$$\text{Smernost (Directivity)} \quad D = \frac{4\pi}{\Omega}$$



$$\text{Dobitek (Gain)} \quad G = \eta D$$

$$EIRP = D P_{sevana} = G P_{TX}$$

Sevanje usmerjenega izvora

$$\vec{S} = \vec{1}_r \frac{\eta P_{TX}}{\Omega r^2} = \vec{1}_r \frac{\eta D P_{TX}}{4\pi r^2} = \vec{1}_r \frac{G P_{TX}}{4\pi r^2}$$

Učinkovitost žarometu opisuje pojem smernost (angleško: directivity). Smernost  $D = \frac{|\vec{S}_{usmerjen}|}{|\vec{S}_{neusmerjen}|} \geq 1$  je razmerje med gostoto moči usmerjenega vira v primerjavi z gostoto moči neusmerjenega vira, ko oba vira sevata enako moč. Usmerjen vir osvetljuje z enako močjo na isti razdalji manjšo površino  $A = \Omega r^2$  od neusmerjenega vira, kar daje višjo gostoto moči. Smernost preprosto zapišemo s prostorskim kotom sevanja vira  $D = 4\pi / \Omega$ .

V izračunu gostote pretoka moči nastopata sevalni izkoristek oddajne antene in smernost iste naprave v produktu.  $G = \eta D$  je zato smiselna definicija dobitka (angleško: gain) antene. Slednjo pogosto napačno prevajajo v ojačanje antene. Antena ničesar ne ojačuje, pač pa samo pretvarja vodeno

elektromagnetno valovanje v sevanje in usmerja nastalo sevanje.

Sevanje radijskega oddajnika pogosto navajamo kot efektivno izotropno sevano moč  $EIRP = G P_{TX}$  (angleško: Effective Isotropic Radiated Power), to je zmnožkom dobitka antene in moči oddajnika. Vse veličine pogosto navajamo v logaritemskih merskih enotah. Neimenovana razmerja  $D$  in  $G$  pogosto navajamo v  $[dBi]$ , decibelih glede na neusmerjeno (izotropno) anteno. Moč oddajnika  $P_{TX}$  in efektivno sevano moč  $EIRP$  pogosto navajamo v  $[dBm]$ , decibelih glede na 1mW.

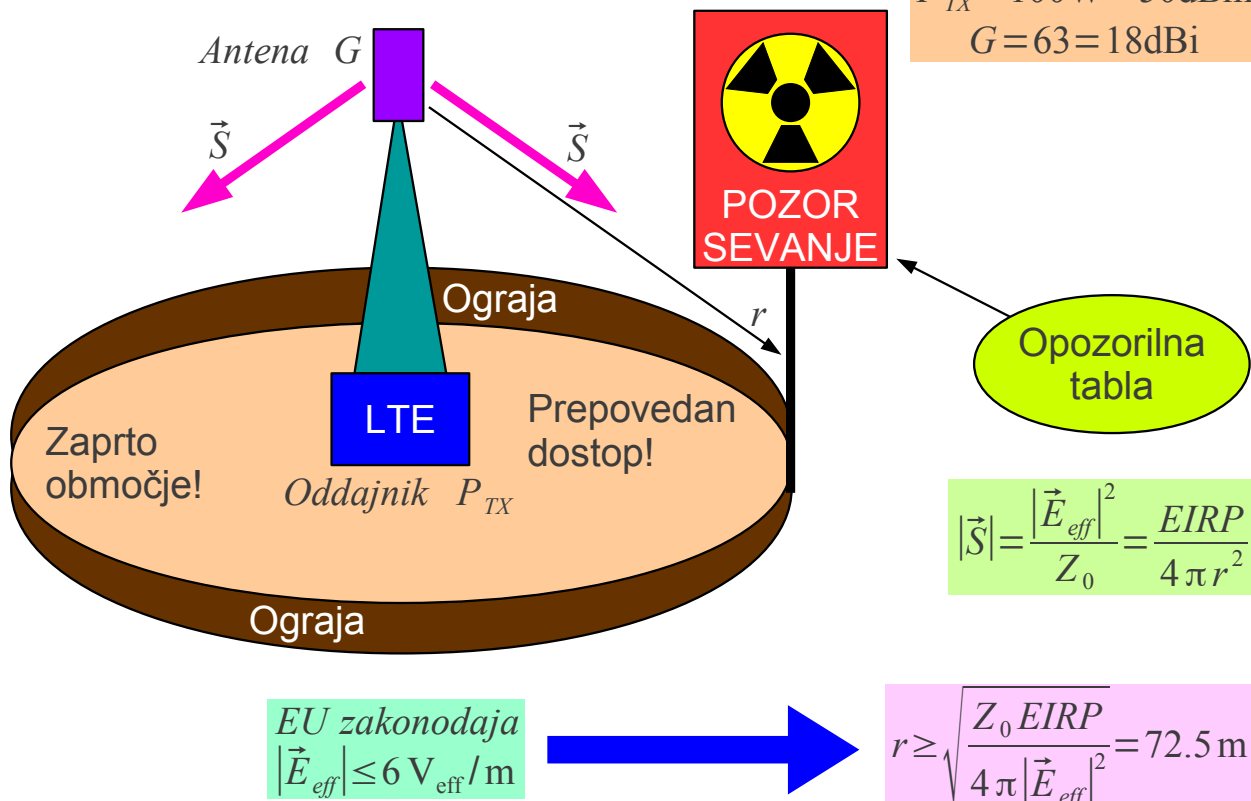
Praktičen zgled je bazna postaja omrežja LTE. Izhodna moč oddajnika lahko doseže  $P_{TX} = 100W = 50dBm$ . Antena pokriva sektor v vodoravni ravnini in njen dobitek lahko doseže  $G = 63 = 18dBi$ . Efektivna sevana moč doseže  $EIRP = 6.3kW = 68dBm$ :

$$EIRP = 68 \text{ dBm} = 10^{(68/10)} \cdot 1 \text{ mW} = 6.3 \text{ kW}$$

Zgled

$$P_{TX} = 100W = 50dBm$$

$$G = 63 = 18dBi$$



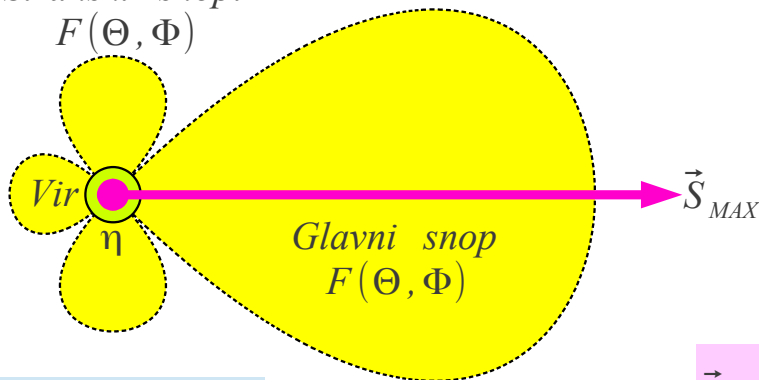
Ograja okoli vira sevanja

Iz podatkov o moči oddajnika in dobitku antene lahko izračunamo razdaljo  $r = 72.5\text{m}$ , kjer efektivna električna poljska jakost doseže mejo  $|\vec{E}_{eff}| = 6\text{V}_{eff}/\text{m}$ . Slednja je mišljena kot varna meja za ljudi ter druga živa bitja in hkrati upošteva elektromagnetno združljivost drugih elektronskih naprav za domačo uporabo, ki v premočnem polju oddajnika ne bi mogle

pravilno delovati. Javnosti je smiselno preprečiti dostop na izračunani razdalji  $r = 72.5\text{m}$  od antene s primerno ograjo in postaviti opozorilne table.

Antena, ki seva samo v stožec s ploskim temenom v prostorski kot  $\Omega$  in nikamor drugam, je sicer privlačen zgled za razlago, je pa v praksi težko izvedljiv. Sevano polje večine resničnih anten opisujeta polarizacija  $\vec{1}_E$  in smerni diagram sevanja  $F(\Theta, \Phi) \neq \text{konst.}$  Slednji opisuje spreminjanje amplitude in faze sevanega polja glede na smer v prostoru. Smerni diagram  $F(\Theta, \Phi)$  resnične antene ima več snopov. Teme glavnega snopa običajno ni plosko,  $F(\Theta, \Phi)$  je razgibana funkcija:

Stranski snopi  
 $F(\Theta, \Phi)$



Prazen prostor  
 $\mu_0 \quad \epsilon_0$   
brez izgub!

$$\vec{E}(\vec{r}) = \vec{1}_E \alpha I \frac{e^{-jkr}}{r} F(\Theta, \Phi)$$

$$F(\Theta, \Phi) \equiv \text{smerni diagram}$$

$$\vec{S} = \vec{1}_r \frac{|\vec{E}|^2}{2Z_0}$$

$$\vec{S}(\vec{r}) = \vec{1}_r \frac{|\alpha I|^2}{2Z_0 r^2} |F(\Theta, \Phi)|^2$$

$$\vec{S}_{MAX} = \vec{1}_r \frac{|\alpha I|^2}{2Z_0 r^2} |F(\Theta_{MAX}, \Phi_{MAX})|^2$$

$$P_{sevana} = \oint\limits_{4\pi} \vec{S}(\vec{r}) \cdot \vec{1}_r r^2 d\Omega = \frac{|\alpha I|^2}{2Z_0} \oint\limits_{4\pi} |F(\Theta, \Phi)|^2 d\Omega$$

$$D = \frac{|\vec{S}_{MAX}|}{\left(\frac{P_{sevana}}{4\pi r^2}\right)} = \frac{\frac{|\alpha I|^2}{2Z_0 r^2} |F(\Theta_{MAX}, \Phi_{MAX})|^2}{\frac{1}{4\pi r^2} \frac{|\alpha I|^2}{2Z_0} \oint\limits_{4\pi} |F(\Theta, \Phi)|^2 d\Omega}$$

Smernost oddajne antene

$$D = \frac{4\pi |F(\Theta_{MAX}, \Phi_{MAX})|^2}{\oint\limits_{4\pi} |F(\Theta, \Phi)|^2 d\Omega}$$

$$d\Omega = \sin\Theta d\Theta d\Phi$$

Smernost antene s poljubnim smernim diagramom  $F(\Theta, \Phi)$  izračunamo tako, da gostoto pretoka moči  $\vec{S}(\Theta_{MAX}, \Phi_{MAX})$  v smeri največjega sevanja delimo z gostoto pretoka moči neusmerjene antene  $P_{SEVANA}/4\pi r^2$  enake sevane moči v isti točki opazovanja. Sevano moč dobimo s seštevanjem (integracijo) gostote pretoka moči  $\vec{S}(\Theta, \Phi)$  v vseh smereh.

Rezultat izpeljave takoj preizkusimo na zgledu Teslovega

transformatorja oziroma okvirne antene, ki imata oba smerni diagram  $F(\Theta, \Phi) = \sin \Theta$  in največje sevanje v ravnini  $xy$  oziroma pri  $\Theta_{MAX} = \pi/2$  :

$$D = \frac{4\pi |F(\Theta_{MAX}, \Phi_{MAX})|^2}{\oint_{4\pi} |F(\Theta, \Phi)|^2 d\Omega} = \frac{4\pi |\sin \Theta_{MAX}|^2}{\int_0^\pi \int_0^{2\pi} |\sin \Theta|^2 \sin \Theta d\Theta d\Phi} =$$

$$= \frac{4\pi |\sin(\pi/2)|^2}{2\pi \int_0^\pi (1 - \cos^2 \Theta) \sin \Theta d\Theta} = \frac{2}{\int_{-1}^1 (1 - u^2) du} = \frac{2}{4/3} = 1.5 = 1.76 \text{dBi}$$

Čeprav smernost preprostih anten ni velika, je nekoliko večja  $D = 1.5 > 1$  od enote. Pravo neusmerjeno anteno, ki bi sevala popolnoma enako  $F(\Theta, \Phi) = \text{konst.}$  v vse smeri prostora, je sploh težko izdelati! Dobitek Teslovega transformatorja oziroma okvirne antene je zelo majhen  $G = \eta D \ll 1$  zaradi slabega sevalnega izkoristka.

Nalogo načrtovanja antene najboljše opisuje definicija dobitka antene  $G = \eta D$ . Antena mora imeti dober sevalni izkoristek in zahtevan smerni diagram  $F(\Theta, \Phi)$ , ki določa smernost antene. Heinrich Hertz je dosegel oboje: polvalovni odprti rezonator učinkovito seva elektromagnetno valovanje, ki ga je Hertz usmeril z valjnim paraboličnim zrcalom. Oboje je bilo nujno potrebno za uspeh Hertzovih poskusov s silno neobčutljivim sprejemnikom (iskriščem).

Pogoj za dober sevalni izkoristek  $\eta = P_{SEVANA} / P_{TX}$  je zapisan že v izrazih za sevano moč tokovnega elementa oziroma zanke. Sevana moč tokovnega elementa narašča sorazmerno kvadratu dolžine žice

$P_{SEVANA} = C_{ŽICA} (h/\lambda)^2$ , sevana moč zanke pa sorazmerno kvadratu površine zanke  $P_{SEVANA} = C_{ZANKA} (A'/\lambda^2)^2$ . Obe enačbi sicer veljata le za kratke žice  $h \ll \lambda$  in majhne zanke  $A' \ll \lambda^2$ , ampak jasno kažeta na to, da dober sevalni izkoristek zahteva izmere antene, ki so vsaj primerljive z valovno dolžino.

Delovanje zbiralnega zrcala opišemo z dodatnimi viri sevanja v samem zrcalu. Ko sevanje osnovnega izvora osvetli kovinsko površino zrcala, v slednji požene ploskovni električni tok  $\vec{K}$ , ki zadosti prestopnim pogojem električnega in magnetnega polja na površini dobrega prevodnika. Ploskovni tok  $\vec{K}$  v zrcalu je izmenični električni tok, ki seva. Osvetljeno zrcalo se

obnaša kot množica novih virov sevanja. Obliko zbiralnega zrcala izbiramo tako, da se kazalci posameznih prispevkov sevanja seštevajo sofazno v željeni smeri.

Prispevki množice virov sevanja se lahko seštevajo na različne načine. Če vse vire napajamo z enim samim izmeničnim generatorjem, je faza posameznih virov natančno določena. Skupno sevanje koherentne oddaje je kazalčna vsota prispevkov posameznih virov. Če so izmere koherentne skupine virov  $\sqrt{A_{TX}} \geq \lambda$  primerljive oziroma večje od valovne dolžine, je kazalčna vsota odvisna od izbrane smeri. V določeni smeri se kazalci seštevajo sofazno, v drugih smereh se kazalci med sabo odštevajo. Koherentna skupina virov ima lahko kompliciran smerni diagram  $F(\Theta, \Phi)$ .

Obratno, če vsak vir napajamo s svojim lastnim izmeničnim generatorjem in slednji niso sinhronizirani med sabo, pač pa se malenkost razlikujejo v frekvenci, medsebojna faza posameznih virov ni določena. Skupno sevanje nekoherentne oddaje je preprosto vsota sevanje moči posameznih virov. Niti pri veliki skupini nekoherentnih virov  $\sqrt{A_{TX}} \geq \lambda$  ne opazimo nobenih interferenčnih pojavov. Smerni diagram nekoherentne skupine je popolnoma enak smernemu diagramu posameznega vira.

Praktični zgledi vključujejo obe vrsti skupin virov. Toplotno sevanje elektromagnetnega valovanja (žarnica z nitko) oziroma svetleče diode (LED) so zgledi nekoherentnih virov sevanja. Več virov sicer več seva, ampak smer sevanja se ne spremeni. V nekoherentni skupini ostaja razmerje med gostoto pretoka moči  $\vec{S}/P_{TX} = konst.$  in močjo oddajnika nespremenjeno. Nekoherentna skupina prav nič ne povečuje smernosti  $D_{SKUPINE} \approx D_{VIRA}$ .

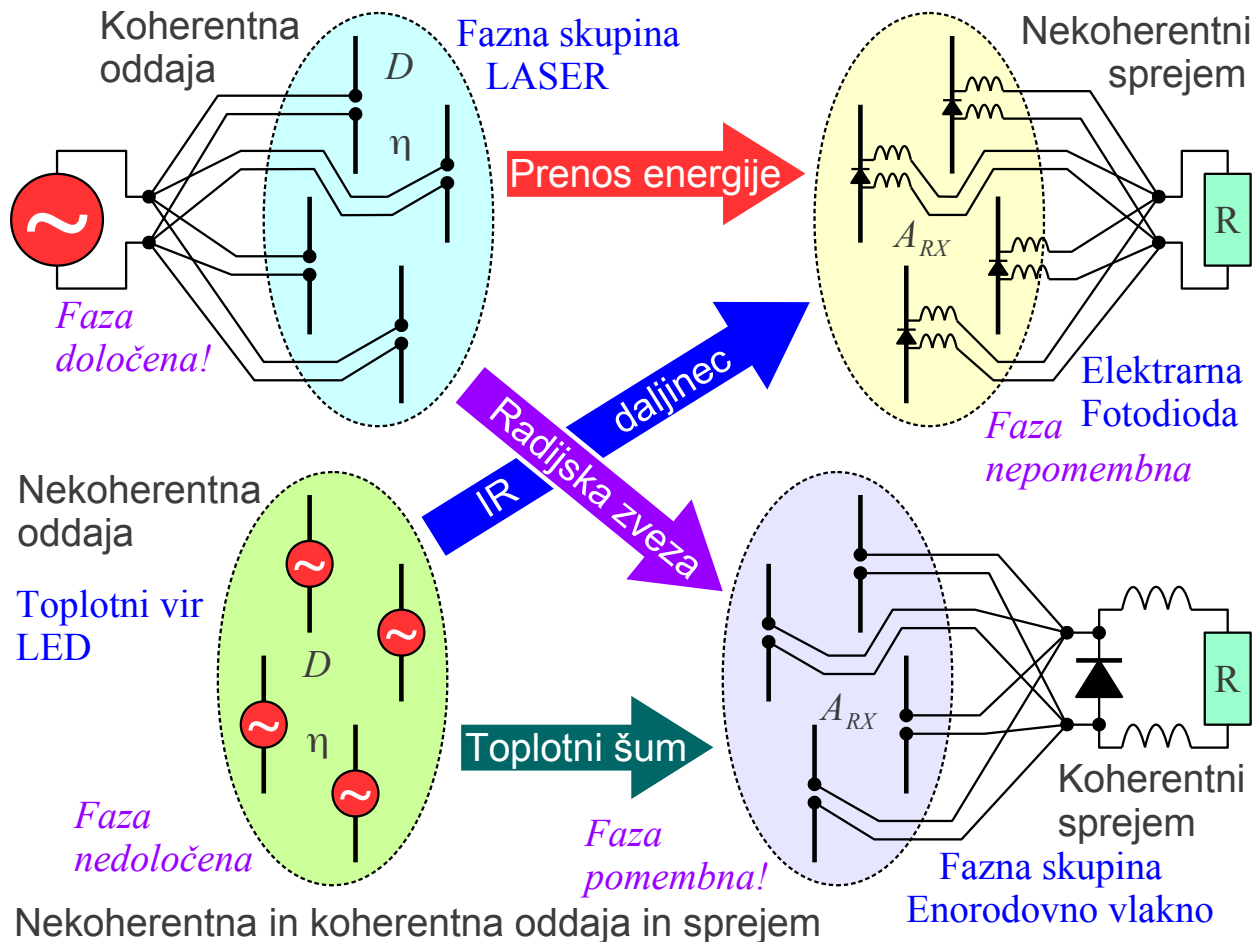
Fazne skupine radijskih anten oziroma LASERji, ki nihajo na enem samem rodu, so zgledi koherentnih skupin virov sevanja. V koherentni skupini  $N$  virov lahko dosežemo sofazno seštevanje kazalcev posameznih prispevkov polja v izbrani smeri. Električno polje skupine v izbrani smeri dosega  $\vec{E}_{SKUPINE} = N \vec{E}_{VIRA}$ . Gostota pretoka moči v izbrani smeri gre s kvadratom polja  $\vec{S}_{SKUPINE} = N^2 \vec{S}_{VIRA}$ , torej s kvadratom števila virov  $N$  koherentne skupine.

Ko so razdalje med posameznimi viri dovolj velike, da so medsebojni vplivi med viri zanemarljivi, narašča moč skupine  $P_{SKUPINE} = N P_{VIRA}$  sorazmerno številu virov  $N$ . Smernost skupine  $N$  koherentnih virov na dovolj velikih medsebojnih razdaljah znaša:



$$D_{SKUPINE} = \frac{|\vec{S}_{SKUPINE}|}{P_{SKUPINE}} / \frac{|\vec{S}_{VIRA}|}{P_{VIRA}} D_{VIRA} = \frac{N^2}{N} D_{VIRA} = N D_{VIRA}$$

Koherentna skupina velikega števila virov na dovolj velikih medsebojnih razdaljah lahko doseže visoko smernost in kompliciran smerni diagram:



Nekaj zelo podobnega se dogaja tudi na sprejemni strani brezvrvične zveze. Sprejemno anteno lahko gradimo kot nekoherentno ali pa kot koherentno skupino sprejemnikov valovanja.

V nekoherentni skupini sprejemnikov vsebuje vsak sprejemnik svoj lastni usmernik. Na bremenu se seštejejo enosmerni tokovi vseh usmernikov. Nekoherentna skupina enako dobro sprejema katerokoli valovanje iz poljubne smeri, saj medsebojne faze posameznih sprejemnikov niso pomembne. Podatek o medsebojni fazi se izgubi v usmernikih.

V koherentni skupini sprejemnikov vse posamezne sprejemnike povežemo na en sam skupni usmernik. Slednji dobi kazalčno vsoto posameznih prispevkov. Povsem enakovreden primer je en sam mali sprejemnik z usmernikom v gorišču zbiralne leče ali zbiralnega zrcala. V koherentni skupini sprejemnikov je faza prispevkov pomembna.

Če so izmere koherentne skupine sprejemnikov  $\sqrt{A_{RX}} \geq \lambda$  primerljive oziroma večje od valovne dolžine, je kazalčna vsota odvisna od smeri prihoda valovanja. Iz določeni smeri se kazalci seštevajo sofazno, iz drugih smeri se kazalci med sabo odštevajo. Tudi v primeru sprejemnika smemo uvesti pojem smernega diagrama  $F(\Theta', \Phi')$ , običajno zapisan s koordiantami  $(r', \Theta', \Phi')$  s sprejemnikom v koordinatnem izhodišču. V primeru koherentnega sprejema je  $F(\Theta', \Phi')$  lahko zelo kompliciran.

Praktični zgledi vključujejo obe vrsti skupin sprejemnikov. Nekoherentni sprejem uporabljamo za brezvrvični prenos energije s poljem številnih malih sprejemnih anten, kjer ima vsaka svoj lastni usmernik (angleško: rectifier+antenna="rectenna"). Fotodioda je povsem enakovreden zgled na svetlobnih frekvencah.

Koherentni sprejem vključuje poleg zbiralnih leč in zbiralnih zrcal tudi fazne skupine anten. Primer koherentnega sprejema v optiki je vstop svetlobe v enorodovno svetlobno vlakno. Sklopni izkoristek nekoherentnega vira (LED) v jedro enorodovnega vlakna je izredno slab!

Koherentna oddaja in koherentni sprejem imata skupno lastnost zapisano v obratnem vrstnem redu. Smernost koherentne oddajne antene  $D_{TX}$  zahteva določeno velikost oddajne antene  $A_{TX}$ . Velikost koherentne sprejemne antene  $A_{RX}$  določa smerni diagram sprejemne antene  $F(\Theta', \Phi')$ , iz katerega lahko izračunamo smernost  $D_{RX}$ , čeprav za slednjo veličino še nimamo definicije.

Fizikalni zakoni razširjanja valovanja dajejo točno povezavo med smernostjo  $D$  in velikostjo  $A$  katerekoli koherentne antene, oddajne ali sprejemne, za katerokoli vrsto valovanja, vzdolžno ali prečno. V primeru velikih smernosti  $D \gg 1$  se povezava glasi:

$$D = \frac{4\pi}{\lambda^2} A_{eff} = \frac{4\pi}{\lambda^2} \eta_o A$$

Zvočnik z membrano efektivne površine  $A_{eff}$  ima povsem določeno smernost  $D$  za vzdolžno zvočno valovanje. Zvočnik se obnaša recipročno: isto smernost dobimo tudi takrat, ko zvočnik uporabljamo kot mikrofona. Stroga izpeljava opisanega fizikalnega zakona za antene sledi v poglavju o elektromagnetnem Huyensovem izvoru.

Efektivna površina antene  $A_{eff} = \eta_o A$  je povezana z dejansko

površino antene preko izkoristka osvetlitve odprtine. Slednji je enak enoti  $\eta_o = 1$ , ko je vsa površina antene enakomerno in sofazno osvetljena oziroma ko vsi deli membrane zvočnika nihajo sofazno z enako amplitudo.

Izkoristka osvetlitve odprtine  $\eta_o$  ne smemo zamenjati s sevalnim izkoristkom  $\eta$ , to sta dva zelo različna pojma! Izkoristek osvetlitve  $\eta_o$  pove, kako dobro antena izkorišča svojo velikost  $A$  za doseganje smernosti, pri tem pa se prav nič moči valovanja ne pretvarja v toploto. Sevalni izkoristke  $\eta$  pove, kolikšen delež privedene električne moči se pretvori v sevanje oddajne antene, preostala moč pa se pretvarja v toploto v ohmski upornosti antene oziroma vezij za prilagoditev impedance.

V praksi srečamo vse štiri možne kombinacije koherentne/nekoherentne oddaje in koherentnega/nekoherentnega sprejema. Nekoherentno oddajo in nekoherenten sprejem se pogosto uporablja v preprostih optičnih zvezah: oddajnik je svetleča dioda (LED), sprejemnik pa PIN fotodioda. Oba imata izredno veliko površino  $A_{TX} \approx A_{RX} \approx 1\text{mm}^2 \approx 10^6 \lambda^2$  v primerjavi z valovno dolžino. Kljub temu je sevanje LED neusmerjeno, sprejem fotodiode IR daljinca je prav tako neusmerjen.

Koherentno oddajo in nekoherenten sprejem je smiselno uporabiti v primeru prenosa električne energije. Ker se na Zemlji Sonce pogosto skriva za oblake, ponoči pa celo za obzorje, bi bilo bolj učinkovito postaviti fotovoltaično elektrarno v vesolje. V geostacionarni tirnici Sonce le redko zaide v senco Zemlje ob enakonočjih in še to se zgodi samo okoli polnoči, ko je poraba električne energije na Zemlji na pripadajoči zemljepisni dolžini majhna.

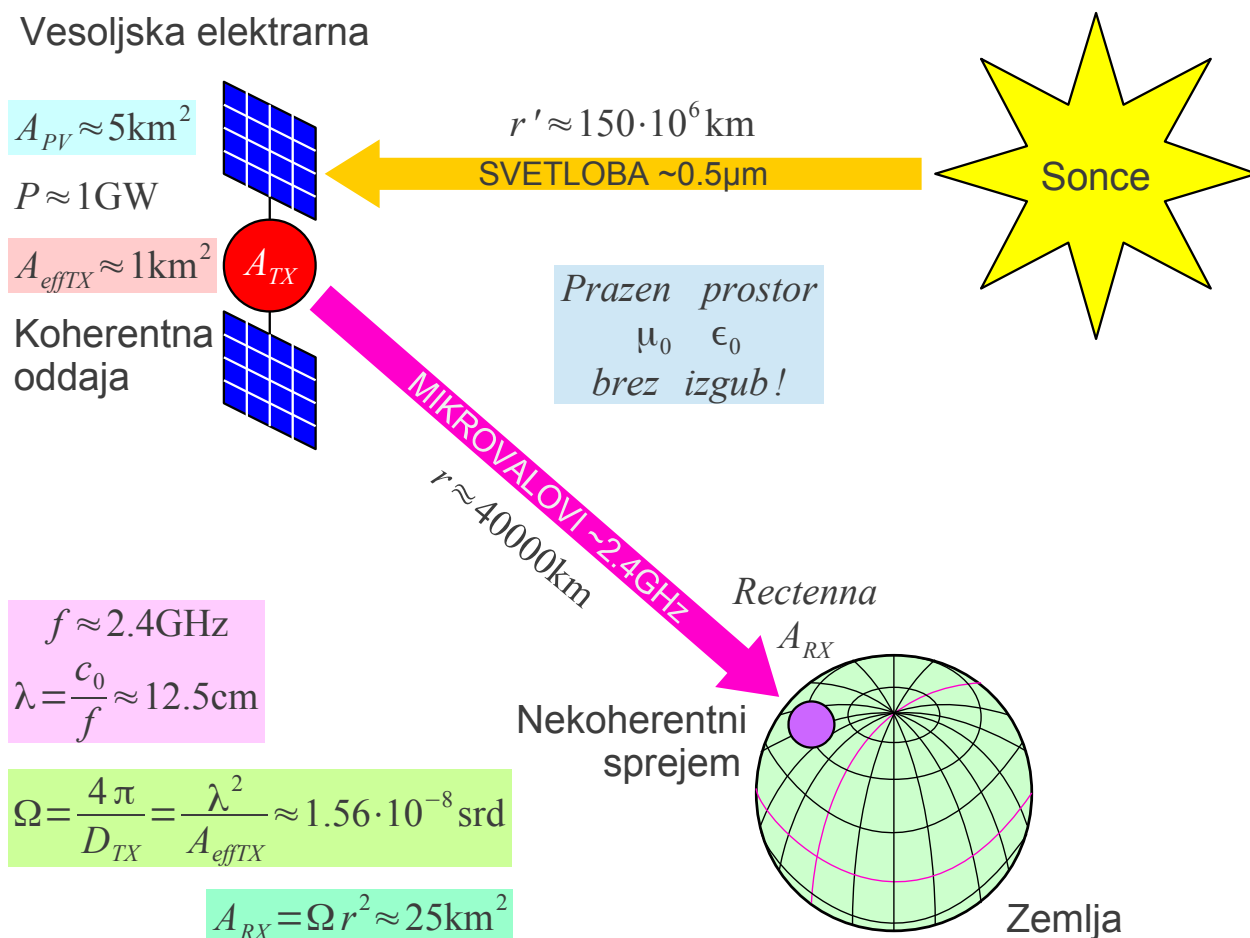
Stalno in zanesljivo električno energijo iz vesolja lahko pripeljemo na zemljo s pomočjo takšnih radijskih valov, kjer je vpliv zemeljskega ozračja najmanjši. Smiselna izbira je frekvenca okoli  $f \approx 2.4\text{GHz}$  oziroma valovna dolžina  $\lambda \approx 12.5\text{cm}$ , kjer povrh znamo izdelati oddajnike in sprejemnike z visokim izkoristkom. Razmeroma velika valovna dolžina zahteva velike antene tako za oddajnik kot za sprejemnik.

Predlog iz sedemdesetih let 20. stoletja, ko je bila vesoljska tekma na vrhuncu, opisuje vesoljsko elektrarno moči  $P \approx 1\text{GW}$ , ki bi potrebovala približno  $A_{PV} \approx 5\text{km}^2$  fotovoltaičnih panelov. Sorazmerna oddajna antena bi imela efektivno površino  $A_{effTX} \approx 1\text{km}^2$ . Na razdalji  $r \approx 40000\text{km}$  se sevanje oddajne antene razširi na površino  $A_{RX} \approx 25\text{km}^2$ .

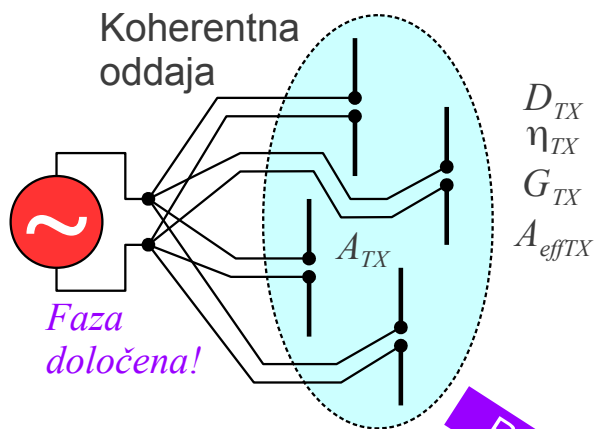
Na Zemlji je smiselno zgraditi nekoherenten sprejemnik s površino  $A_{RX} \approx 25\text{km}^2$ , ki sprejema mikrovalovno energijo iz poljubne smeri. Slednji

ne zahteva nobenega nastavljanja, ko tirnica vesoljske elektrarne odstopa od nazivne. Neusmerjen sprejemnik hkrati omogoča preprosto nadgradnjo, ko se v sistem doda nova elektrarna na drugačnem mestu v vesolju:

### Vesoljska elektrarna



V brezvrvični zvezi za prenos informacije je pogosto zaželen usmerjen sprejem, da se izognemo toplotnemu šumu in drugim motnjam iz drugih smeri. V radijski zvezi najpogosteje uporabljamo koherentno oddajo in koherenten sprejem. Recipročnost sicer velja v vseh opisanih primerih brezvrvičnih zvez, ampak jo je najlažje pokazati prav pri koherentni oddaji in koherentnem sprejemu:



$$A_{effTX} = \frac{\lambda^2}{4\pi} D_{TX} = \frac{\lambda^2}{4\pi} \frac{G_{TX}}{\eta_{TX}}$$

$$A_{eff} = A \cdot \eta_o \equiv \text{efektivna površina}$$

$$\eta_o \equiv \text{izkoristek osvetlitve}$$

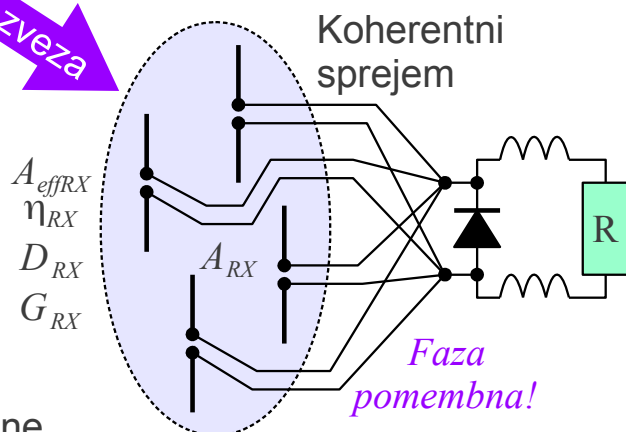
$$\eta_o \approx 50\% \dots 80\%$$

**Recipročnost!**

$$D_{RX} = \frac{4\pi}{\lambda^2} A_{effRX}$$

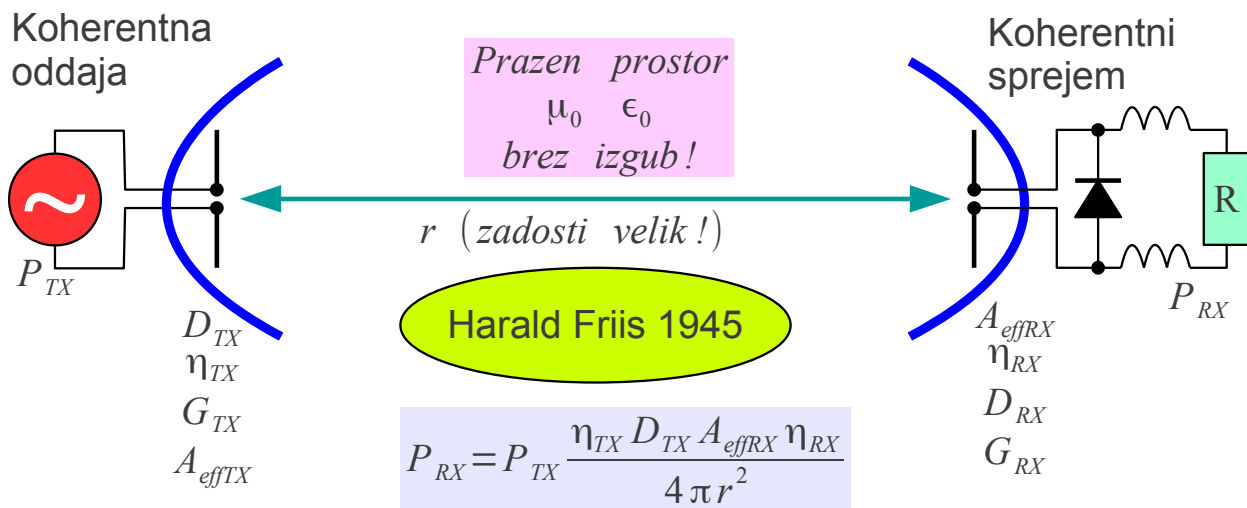
$$G_{RX} = \frac{4\pi}{\lambda^2} A_{effRX} \eta_{RX}$$

Radijska zveza



Efektivna površina koherentne antene

Domet radijske zveze omejujejo toplotni šum in motnje. Toplotno sevanje je po definiciji nekoherentna oddaja. Večje število motilcev običajno ni sinhronizirano med sabo, zato se skupaj obnašajo kot nekoherentni oddajnik. Toplotni šum in motnje torej obravnavamo kot nekoherentno oddajo in koherentni sprejem.



Zapis z dobitki anten:

$$P_{RX} = P_{TX} G_{TX} G_{RX} \left( \frac{\lambda}{4\pi r} \right)^2$$

**Recipročnost !**

Zapis s površinami anten:

$$P_{RX} = P_{TX} \frac{\eta_{TX} A_{effTX} A_{effRX} \eta_{RX}}{\lambda^2 r^2}$$

Friisova enačba za domet koherentne zveze

$$P[\text{dBm}] = 10 \log_{10}(P/1\text{mW}) = P[\text{dBW}] + 30\text{dB}$$

$$P[\text{dBW}] = 10 \log_{10}(P/1\text{W}) = P[\text{dBm}] - 30\text{dB}$$

dBm  $\equiv$  dB glede na 1mW

dBW  $\equiv$  dB glede na 1W

$$D[\text{dBi}] = 10 \log_{10} D$$

$$G[\text{dBi}] = 10 \log_{10} G$$

dBi  $\equiv$  dB glede na neusmerjen (izotropni) vir

$$D[\text{dBd}] = D[\text{dBi}] - 2.15\text{ dB}$$

$$G[\text{dBd}] = G[\text{dBi}] - 2.15\text{ dB}$$

dBd  $\equiv$  dB glede na polvalovni dipol

*Friisova enačba*

$$P_{RX} = P_{TX} G_{TX} G_{RX} \left( \frac{\lambda}{4\pi r} \right)^2$$

$$P_{RX}[\text{dBm}] = P_{TX}[\text{dBm}] + G_{TX}[\text{dBi}] + G_{RX}[\text{dBi}] + 20\log_{10}\lambda[\text{m}] - 20\log_{10}r[\text{m}] - 21.98\text{ dB}$$

$$20\log_{10}(4\pi) = 21.98\text{ dB}$$

*Slabljenje praznega prostora*

$$a[\text{dB}] = 20\log_{10}\left(\frac{4\pi r}{\lambda}\right)$$

$$P_{RX}[\text{dBm}] = P_{TX}[\text{dBm}] + G_{TX}[\text{dBi}] + G_{RX}[\text{dBi}] - 20\log_{10}f[\text{MHz}] - 20\log_{10}r[\text{m}] + 27.55\text{ dB}$$

Logaritemske merske enote

$$\lambda[\text{m}] \approx 299.7/f[\text{MHz}] \quad (\text{zrak } n=1.0003)$$

\* \* \* \* \*